

ОБОСНОВАНИЕ ПРОЦЕССА СЕГРЕГАЦИИ ЗЕРНОВЫХ СМЕСЕЙ ПРИ СЕПАРИРОВАНИИ ВИБРОЦЕНТРОБЕЖНЫМИ РЕШЕТАМИ

Леонид Тищенко, Михаил Пивень, Вадим Бредихин

Харьковский национальный технический университет

сельского хозяйства имени Петра Василенка

Ул. Артема 44, Харьков, Украина. E-mail: khstua@lin.com.ua

Leonid Tishchenko, Mykhail Piven, Vadim Bredikhin

Kharkiv Petro Vasylchenko National Technical University of Agriculture

St. Artem 44, Kharkiv, Ukraine. E-mail: khstua@lin.com.ua

Аннотация. В работе исследованы закономерности процесса сегрегации зерновой смеси (ЗС) на внутренней поверхности цилиндрического виброцентробежного решета. Установлены значения пористости и градиента скорости смеси обеспечивающие наибольшую эффективность сегрегации. Обоснованы конструктивные параметры разрыхлителей смеси виброцентробежных зерновых сепараторов.

Ключевые слова: сегрегация, зерновые смеси, разрыхлители, пористость, скорость, виброцентробежные сепараторы.

ПОСТАНОВКА ПРОБЛЕМЫ

Основой продовольственной безопасности страны является увеличение производства зерна, необходимого для пищевого и кормового использования. Важным этапом производства зерна является послеуборочная обработка. ЗС поступающие после комбайнов необходимо очистить от примесей и отсортировать на фракции, чтобы выделить наиболее полноценные зерна.

Для очистки и сортирования смесей применяют зерновые сепараторы, наиболее высокопроизводительными из которых являются виброцентробежные А1-БЦСМ-100, Р8-БЦСМ-50, СВС-15 производства ОАО «Вибросепаратор» (г. Житомир). Однако, сепарирование в поле центробежных сил сопровождается уплотнением смеси, что снижает интенсивность сегрегации (движение мелких частиц сквозь слой к поверхности решета) и эффективность процесса в целом.

АНАЛИЗ ПОСЛЕДНИХ ИССЛЕДОВАНИЙ И ПУБЛИКАЦИЙ

Исследованиями П.А. Миронова [11] установлено, что интенсивность поступления мелких частиц из слоя к решету значительно меньше пропускной способности его отверстий, что указывает на необходимость ин-

тенсификации сегрегации.

Б.И. Котовым [8,9] установлено, что с увеличением разрыхленности ЗС скорость продвижения мелких частиц в слое возрастает.

В работах В.В. Гортинского [5] перемещение мелкой частицы, свойства которой отличаются от свойств частиц смеси, объясняется проникновением через поры нижележащих слоев. Скорость продвижения частицы зависит от формы и размеров пор, интенсивности послойного движения смеси, характеризуемой градиентом скорости элементарных слоев по глубине.

Экспериментальными исследованиями О.Б. Юшкова, А.Н. Куди [7] установлено, что управление сегрегацией по размеру частиц достигается путем изменения скорости сдвига элементарных слоев.

Анализ работ показывает, что интенсификация сегрегации должна осуществляться путем увеличения пористости и скорости послойного движения. Это может быть достигнуто оптимизацией кинематических режимов решета, применением воздушного потока или разрыхлителей [3,14,13,1,2].

Исследованиями Л.Н. Тищенко [16-18] определен способ интенсификации сегрегации путем применения поверхностных и объемных разрыхлителей как наиболее рациональный. Им разработаны основы интенсификации внутрислоевых процессов виброцентробежного сепарирования как необратимых и неравновесных, в пределах фрактальной двухпотоковой кинетики, неэкстенсивной термодинамики и двухжидкостной гидродинамики.

В этих работах допускалось, что законы движения частиц внутри слоя подчиняются уравнениям для движения вязкой жидкости. Однако, динамическое поведение сыпучей ЗС отличается от поведения вязкой жидкости, определяется трением между ее частицами,

ОБОСНОВАНИЕ ПРОЦЕССА СЕГРЕГАЦИИ ЗЕРНОВЫХ СМЕСЕЙ ПРИ СЕПАРИРОВАНИИ ВИБРОЦЕНТРОБЕЖНЫМИ РЕШЕТАМИ

столкновениями и другими видами взаимодействий. ЗС совершают быстрые движения и ее динамическое состояние существенно зависит от размеров зерна, пористости слоя и скорости послойного движения.

Конструкции предложенных разрыхлителей имеют недостатки: повышенную массу и габариты, дополнительные динамические нагрузки на узлы сепаратора.

ПОСТАНОВКА ЗАДАНИЯ

Цель работы – интенсификация процесса сегрегации, обоснование его рациональных параметров.

ИЗЛОЖЕНИЕ ОСНОВНОГО МАТЕРИАЛА

Для интенсификации процесса сегрегации лабораторией послеуборочной обработки зерна ХНТУСХ разработаны новые решета [12]. На их рабочей поверхности, на поперечных перемычках, установлены разрыхлители в виде ребер или продолговатых рифлей с такими конструктивными параметрами: диаметр ребер $d_{реб}$; расстояние между ребрами $l_{реб}$; высота рифлей $h_{риф}$; расстояние между рядами рифлей $l_{риф}$; расстояние между рифлями l^* ; ширина рифлей $b_{риф}$; длина рифлей $a_{риф}$ (рис.1, 2).

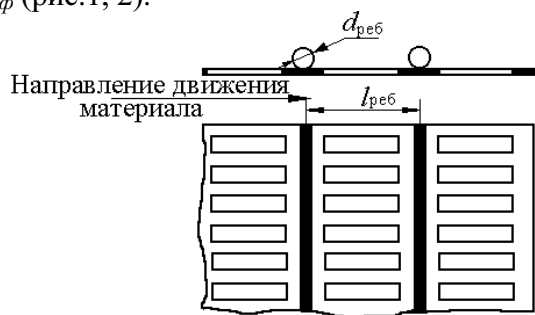


Рис. 1. Конструктивная схема оребренного решетного полотна

Fig. 1. Structural chart of ribbed sieve

Методом отсеивающих экспериментов установлено, что ширина и длина рифлей не оказывают существенного влияния на процесс и они были исключены из дальнейшего рассмотрения. При работе решета, ребра и рифли сообщают воздействия на смесь, разрыхляют ее и оказывают дополнительное сопротивление нижнему элементарному слою, увеличивая интенсивность послойного движения.

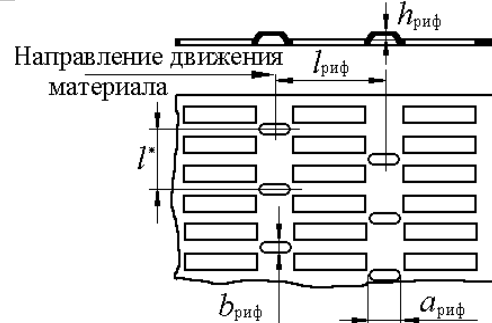


Рис. 2. Конструктивная схема рифленого решетного полотна

Fig. 2. Structural chart of rifled sieve

Для описания динамики внутрислоевых процессов использована теория быстрых движений гранулированных сред [6, 15].

Математическая модель внутрислоевых процессов на внутренней поверхности цилиндрического виброкентробежного решета получена в работе [20]. Уравнения описывающие движение ЗС имеют вид:

$$\frac{d}{dr} \left[\alpha \psi \left(\frac{dv_1}{dr} \right)^2 \right] + \frac{2}{r} \alpha \left(\frac{dv_1}{dr} \right)^2 - \gamma_1 v_1 \omega^2 r = 0, \quad (1)$$

$$\frac{d}{dr} \left[r \mu \left(\frac{dv}{dr} \right) \right] + \gamma_1 v_1 g = 0, \quad (2)$$

где: α – феноменологический коэффициент; $\psi = \Phi + 2$; $\Phi = \left| (1 + f^2)^{1/2} / f - 1 \right|$; f – динамический коэффициент внутреннего трения; $f = f_0 (1 + e^{-B}) / 2$; f_0 – коэффициент внутреннего трения при отсутствии вибраций; $B = r_{кол} \omega_{кол}^2 / g$; $\omega_{кол}$ – циклическая частота колебаний решета; $r_{кол}$ – радиус кривошипа вибровозбудителя (амплитуда колебаний); r – текущее значение координаты в цилиндрической системе; ω – угловая скорость вращения цилиндрического решета; γ_1 – плотность частиц несущего потока; v_1 – объемная плотность ЗС, $v_1 = 1 - \varepsilon$; ε – пористость ЗС; v – скорость ЗС; μ – динамический коэффициент вязкости.

Уравнения (1), (2) дополняются граничными условиями:

- на свободной поверхности слоя

$$\frac{dv_1}{dr} = 0, \quad \frac{dv}{dr} = 0,$$

- на поверхности серийного решета

$$|\vec{n} \cdot \vec{T}|_\tau = f_{ck} |\vec{n} \cdot \vec{T} \cdot \vec{n}|,$$

- на поверхности оребренного решета

$$\mu \frac{\partial v}{\partial r} + \left(1 - \frac{d_{peb}}{l_{peb}} \right) f_{ck} \alpha \psi \left(\frac{\partial v_1}{\partial r} \right)^2 + \\ + \frac{d_{peb}}{l_{peb}} \frac{2C_d \gamma_1 v_1}{(R_2^2 - R_1^2)^2} \left(\int_{R_1}^{R_2} r v dr \right)^2 = 0;$$

- на поверхности рифленого решета:

$$\mu \frac{\partial v}{\partial r} + \left(1 - \frac{8h_{pu\phi}}{l_{pu\phi} \cdot l^*} \right) f_{ck} \alpha \psi \left(\frac{\partial v_1}{\partial r} \right)^2 + \\ + \frac{\pi h_{pu\phi}^2}{l_{pu\phi} \cdot l^*} \frac{C_d \gamma_1 v_1}{(R_2^2 - R_1^2)^2} \left(\int_{R_1}^{R_2} r v dr \right)^2 = 0,$$

где: \vec{n} – нормаль к поверхности решета; $f_{ck} = f_{0ck} (1 + e^{-(\zeta B)}) / 2$ – коэффициент внешнего трения скольжения зерна по решету; f_{0ck} – коэффициент внешнего трения скольжения в отсутствии вибрации; $\hat{T}^{(1)}$ – тензор напряжений; ζ – эмпирический коэффициент; R_1 – радиус свободной поверхности слоя; R_2 – радиус цилиндрического решета; C_d – безразмерный коэффициент сопротивления ребер и рифлей движению смеси.

При решетном сепарировании интенсивность сегрегации оценивают скоростью продвижения мелких частиц из слоя к решету. Уравнения определяющие радиальную u и продольную w составляющие относительной скорости мелкой частицы в слое ЗС имеют вид:

$$u(t, r, z) = \frac{1}{A} \omega^2 r \times \quad (3)$$

$$w(t, r, z) = \frac{C}{A} \left\{ \begin{aligned} & \left[1 - e^{-Az/v} - H_{\text{ev}}(z-vt) (e^{-At} - e^{-Az/v}) \right] \\ & \left[\left(g + \frac{dv}{dr} \omega^2 r \left(t - \frac{1}{A} - \frac{z}{v} \right) \right) \times \right. \\ & \quad \times e^{-A(z-vt)/v} H_{\text{ev}}(z-vt) - \\ & \quad \left. - \left(g - \frac{\omega^2 r}{A} \frac{dv}{dr} \right) H_{\text{ev}}(z-vt) \right] \times \\ & \times e^{-At} + g - \frac{\omega^2 r}{A} \frac{dv}{dr} - \\ & - \left[g - \left(\frac{1}{A} + \frac{z}{v} \right) \frac{dv}{dr} \omega^2 r \right] e^{-Az/v} \end{aligned} \right\} \quad (4)$$

где: $H_{\text{ev}}(\xi) = \begin{cases} 0, & \text{при } (\xi < 0) \\ 1, & \text{при } (\xi > 0) \end{cases}$ – функция

$$\text{Хевисайда; } A = \frac{3K_\mu \mu v_1}{4\pi a_{\text{част}}^2 \gamma_2}; \quad C = 1 - \gamma_1 v_1 / \gamma_2;$$

t – время; γ_2 – плотность мелких частиц; K_μ – эмпирический коэффициент сопротивления движению частицы; $a_{\text{част}}$ – эквивалентный радиус мелкой частицы; z – осевая координата в цилиндрической системе.

Для проведения численных расчетов примем следующие значения кинематических, конструктивных и режимных параметров виброконцентробежного решета рекомендемых Е.С. Гончаровым [4]: амплитуда колебаний решета $r_{\text{кол}} = 0,006$ м, круговая частота колебаний решета $\omega_{\text{кол}} = 94,2$ рад/с, угловая скорость вращения решета $\omega = 11,3$ рад/с; радиус цилиндрического решета $R_2 = 0,3075$ м, длина решета $L = 0,5$ м; удельная загрузка $q = 110 \dots 180$ кг/час·дм². Для ЗС взяты следующие значения физико-механических свойств пшеницы [10]: коэффициент внешнего трения скольжения по решету $f_{ck} = 0,43$, коэффициент внутреннего трения $f_0 = 0,47$, плотность частиц ЗС $\gamma_1 = 1350$ кг/м³. Численные значения эмпирических коэффициентов приняты: $\alpha = 0,26 \dots 1,54$ кг·м/с²; $C_d = 1,03 \dots 2,47$; $\mu = 0,033 \dots 0,122$ Па·с [19]. Значения физико-механических свойств мелких частиц приняты: плотность $\gamma_2 = 1100$ кг/м³; эквивалентный радиус частицы $a_{\text{част}} = 0,75$ мм; коэффициент сопротивления движению частицы $K_\mu = 390$.

Исследуем основные закономерности процесса сегрегации и определим его оптимальные параметры.

На рис. 3-6 представлены зависимости пористости ε и скорости v ЗС от глубины слоя r^* , удельной загрузки решета, конструктивных параметров ребер и рифлей.

Глубина слоя определяется безразмерной величиной r^* , равной отношению расстояния между свободной поверхностью слоя и рассматриваемым элементарным слоем, к общей толщине слоя. Так на свободной поверхности слоя $r^* = 0$, а на поверхности решета $r^* = 1$.

Конструктивные параметры ребер и рифлей оценивались соотношением d_{peb}/l_{peb} , $h_{pu\phi}/l_{pu\phi}$. С увеличением данных соотношений d_{peb} и $h_{pu\phi}$ возрастают, а расстояния l_{peb} и $l_{pu\phi}$ уменьшаются.

ОБОСНОВАНИЕ ПРОЦЕССА СЕГРЕГАЦИИ ЗЕРНОВЫХ СМЕСЕЙ ПРИ СЕПАРИРОВАНИИ ВИБРОЦЕНТРОБЕЖНЫМИ РЕШЕТАМИ

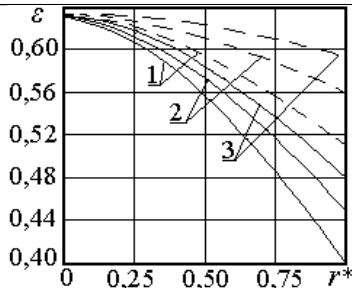


Рис. 3. Зависимости пористости ε ЗС от глубины слоя r^* , удельной загрузки q и конструктивных параметров ребер:

1 – серийное решето; 2 – $d_{peb}/l_{peb}=0,024$; 3 – $d_{peb}/l_{peb}=0,07$; – – – $q=110 \text{ кг/час}\cdot\text{дм}^2$; — — — $q=180 \text{ кг/час}\cdot\text{дм}^2$

Fig. 3. Dependences of GM porosity ε on the layer depth r^* , loading q and constructional parameters of ribs: 1 – serial sieve;

2 – $d_{peb}/l_{peb}=0,024$; 3 – $d_{peb}/l_{peb}=0,07$;

— – – $q=110 \text{ kg/h}\cdot\text{dm}^2$; — — — $q=180 \text{ kg/h}\cdot\text{dm}^2$

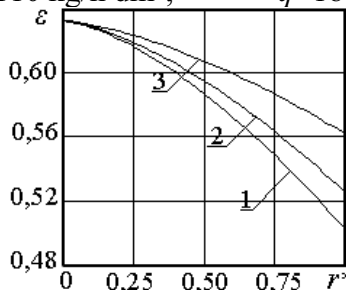


Рис. 4. Зависимости пористости ε ЗС от глубины слоя r^* и конструктивных параметров рифлей: 1 – серийное решето;

2 – $h_{puif}/l_{puif}=0,024$, $l^*=20 \text{ мм}$; 3 – $h_{puif}/l_{puif}=0,07$, $l^*=12 \text{ мм}$; ($q=110 \text{ кг/час}\cdot\text{дм}^2$)

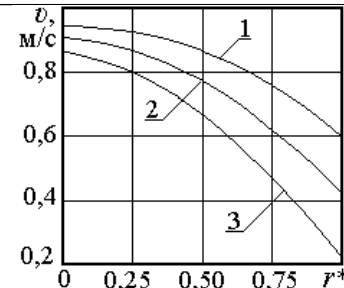
Fig. 4. Dependences of GM porosity ε on the layer depth r^* and constructional parameters of

rifflers: 1 – serial sieve; 2 – $h_{puif}/l_{puif}=0,024$,

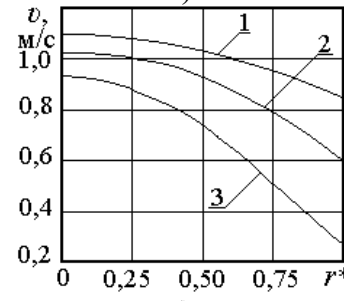
$l^*=20 \text{ mm}$; 3 – $h_{puif}/l_{puif}=0,07$, $l^*=12 \text{ mm}$;

($q=110 \text{ kg/h}\cdot\text{dm}^2$)

Из рис. 3, 4 видно, что пористость ЗС уменьшается с глубиной не линейно. При увеличении соотношений d_{peb}/l_{peb} , h_{puif}/l_{puif} и уменьшении расстояния между рифлями l^* пористость увеличивается, кривая зависимости $\varepsilon(r^*)$ выравнивается по глубине слоя. Это объясняется возрастающим воздействием ребер и рифлей на смесь, приводящем к разрыхлению и увеличению пористости. Численные значения пористости на оребренном решете больше, чем на рифленом. Увеличение удельной загрузки решета q приводит к снижению пористости, вследствие увеличения давления вышележащих слоев.



a)



б)

Рис. 5. Зависимости скорости ЗС v от глубины слоя r^* , удельной загрузки q и конструктивных параметров ребер:

1 – серийное решето; 2 – $d_{peb}/l_{peb}=0,035$;

3 – $d_{peb}/l_{peb}=0,07$; а) – $q=110 \text{ кг/час}\cdot\text{дм}^2$; б) – $q=180 \text{ кг/час}\cdot\text{дм}^2$

Fig. 5. Dependences of GM speed v on the layer depth r^* , loading q and constructional parameters of ribs: 1 – serial sieve; 2 – $d_{peb}/l_{peb}=0,035$;

3 – $d_{peb}/l_{peb}=0,07$; а) – $q=110 \text{ kg/h}\cdot\text{dm}^2$; б) – $q=180 \text{ kg/h}\cdot\text{dm}^2$

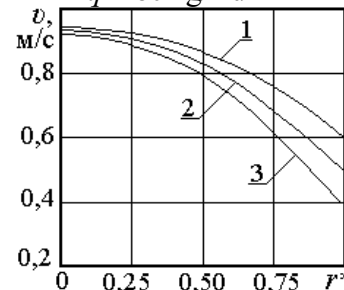


Рис. 6. Зависимости скорости ЗС v от глубины слоя r^* и конструктивных параметров рифлей: 1 – серийное решето;

2 – $h_{puif}/l_{puif}=0,024$, $l^*=20 \text{ мм}$; 3 – $h_{puif}/l_{puif}=0,07$, $l^*=12 \text{ мм}$; ($q=110 \text{ кг/час}\cdot\text{дм}^2$)

Fig. 6. Dependences of GM speed v on the layer depth r^* and constructional parameters of rifflers:

1 – serial sieve; 2 – $h_{puif}/l_{puif}=0,024$, $l^*=20$

mm; 3 – $h_{puif}/l_{puif}=0,07$, $l^*=12 \text{ mm}$;

($q=110 \text{ kg/h}\cdot\text{dm}^2$)

Скорость движения ЗС уменьшается с глубиной, верхние слои перемещаются быстрее, нижние – медленнее (рис. 5, 6). Зависимость $v(r^*)$ является нелинейной.

С увеличением $h_{риф}/l_{риф}$, $d_{реб}/l_{реб}$ и уменьшением l^* возрастает сопротивление движению нижнего элементарного слоя, что приводит к незначительному снижению скорости. Разность скоростей верхнего и нижнего элементарных слоев при этом возрастает, градиент скорости по глубине слоя увеличивается.

При увеличении удельной загрузки решета, скорость ЗС увеличивается. Это объясняется стеканием вниз вышележащих слоев под действием силы тяжести.

На рис. 7, 8 представлены траектории движения мелких частиц по глубине слоя r^* и длине L цилиндрического решета.

Длина проекции траектории частицы на решето характеризует эффективность процесса сегрегации. Чем меньше длина этого участка, тем быстрее частицы достигают поверхности решета и эффективность сегрегации возрастает. Из рис. 7, 8 видно, что с применением разрыхлителей, проекции траекторий движения мелких частиц уменьшаются. Это объясняется разрыхлением смеси и увеличением интенсивности послойного движения. Силы сопротивления движению мелких частиц уменьшаются и они быстрее проникают в поры нижележащих слоев.

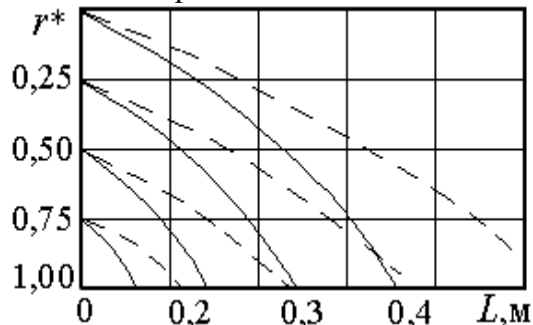


Рис. 7. Зависимости траекторий мелких частиц по глубине слоя r^* и длине L цилиндрического решета от конструктивных параметров ребер: --- серийное решето; —— $d_{реб}/l_{реб}=0,07$; ($q=110$ кг/час·дм 2)

Fig. 7. Dependences of trajectory of small particles on the layer depth r^* , sieve length and constructional parameters of ribs: --- serial sieve; —— $d_{реб}/l_{реб}=0,07$; ($q=110$ kg/h·dm 2)

На рис. 9, 10 представлены зависимости радиальной u и осевой w составляющих скорости мелкой частицы от глубины слоя, удельной загрузки, конструктивных параметров ребер и рифлей.

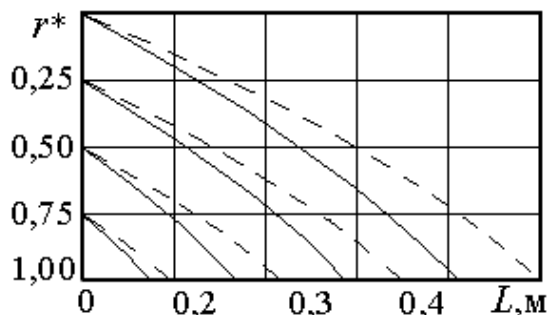
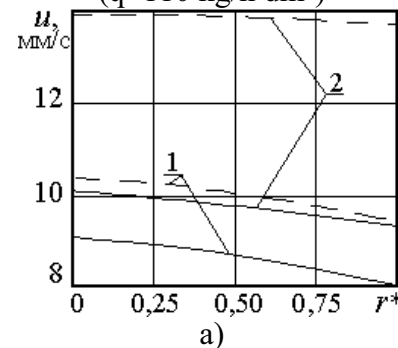


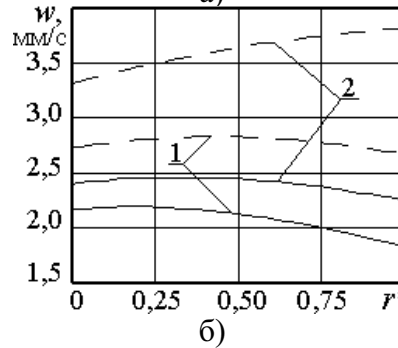
Рис. 8. Зависимости траекторий мелких частиц по глубине слоя r^* и длине L цилиндрического решета от конструктивных параметров рифлей: --- серийное решето; —— $h_{риф}/l_{риф}=0,07$; $l^*=12$ мм; ($q=110$ кг/час·дм 2)

Fig. 8. Dependences of trajectory of small particles on the layer depth r^* , sieve length and constructional parameters of rifles: --- serial sieve;

— $h_{риф}/l_{риф}=0,07$; $l^*=12$ mm; ($q=110$ kg/h·dm 2)



a)



б)

Рис. 9. Зависимости радиальной u и осевой w составляющих скорости мелкой частицы от глубины слоя r^* , удельной загрузки и конструктивных параметров ребер: а) $u(r^*)$; б) $w(r^*)$; 1 – серийное решето;

2 – $d_{реб}/l_{реб}=0,07$; --- $q=110$ кг/час·дм 2 ; —— $q=180$ кг/час·дм 2

Fig. 9. Dependences of radial and axial speed components of small particles on the layer depth r^* , loading q and constructional parameters of ribs: а) $u(r^*)$; б) $w(r^*)$; 1 – serial sieve; 2 – $d_{реб}/l_{реб}=0,07$; --- $q=110$ kg/h·dm 2 ; —— $q=180$ kg/h·dm 2

ОБОСНОВАНИЕ ПРОЦЕССА СЕГРЕГАЦИИ ЗЕРНОВЫХ СМЕСЕЙ ПРИ СЕПАРИРОВАНИИ ВИБРОЦЕНТРОБЕЖНЫМИ РЕШЕТАМИ

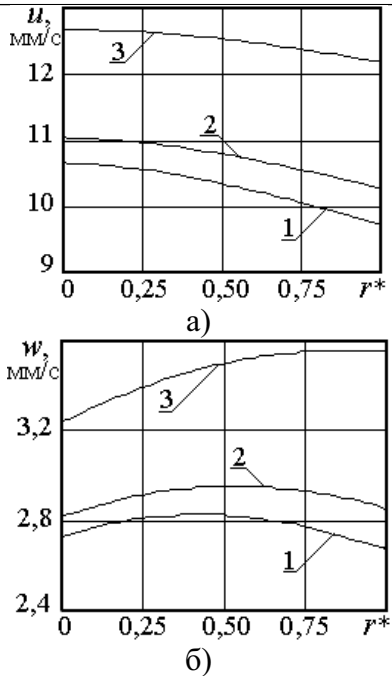


Рис. 10. Зависимости радиальной и осевой скорости мелкой частицы от глубины слоя r^* и конструктивных параметров рифлей:

а) – зависимость $u(r^*)$; б) – $w(r^*)$; 1 – серийное решето; 2 – $h_{\text{риф}}/l_{\text{риф}}=0,024, l^*=20 \text{ мм}$; 3 – $h_{\text{риф}}/l_{\text{риф}}=0,07, l^*=12 \text{ мм}$; ($q=110 \text{ кг/час} \cdot \text{дм}^2$)

Fig. 10. Dependences of radial and axial speed components of small particles on the layer depth r^* and constructional parameters of rifles: a) – dependenc $u(r^*)$; б) – $w(r^*)$; 1 – serial sieve; 2 – $h_{\text{риф}}/l_{\text{риф}}=0,024, l^*=20 \text{ mm}$; 3 – $h_{\text{риф}}/l_{\text{риф}}=0,07, l^*=12 \text{ mm}$; ($q=110 \text{ kg/h} \cdot \text{dm}^2$)

Радиальная составляющая u скорости мелкой частицы уменьшается с глубиной, что объясняется уменьшением пористости. Осевая составляющая w также изменяется по глубине, кривая зависимости $w(r^*)$ имеет экстремум расположенный в середине слоя. Численные значения осевой составляющей w в несколько раз меньше радиальной u .

При увеличении соотношений $d_{\text{реб}}/l_{\text{реб}}$, $h_{\text{риф}}/l_{\text{риф}}$ и уменьшении l^* радиальная u и осевая w составляющие скорости увеличиваются. Кривые зависимостей $u(r^*)$ выравниваются, т.е. скорости приближаются к одинаковой величине по всей глубине слоя. При увеличении удельной загрузки q (рис. 9) радиальная u и осевая w составляющие скорости уменьшаются, что объясняется уплотнением смеси вышележащими слоями.

На рис. 11-12 представлены зависимости эффективности процесса сегрегации.

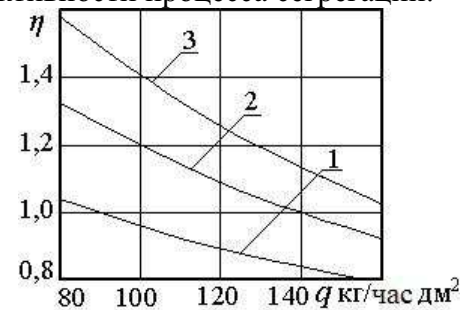


Рис. 11. Зависимости эффективности сегрегации η от удельной загрузки q решет: 1 – серийное решето; 2 – рифленое $h_{\text{риф}}/l_{\text{риф}}=0,07, l^*=16 \text{ mm}$; 3 – оребренное $d_{\text{реб}}/l_{\text{реб}}=0,07$

Fig. 11. Dependences of segregation efficiency η on the sieve loading q : 1 – serial sieve; 2 – rifled $h_{\text{риф}}/l_{\text{риф}}=0,07, l^*=16 \text{ mm}$; 3 – ribbed $d_{\text{реб}}/l_{\text{реб}}=0,07$

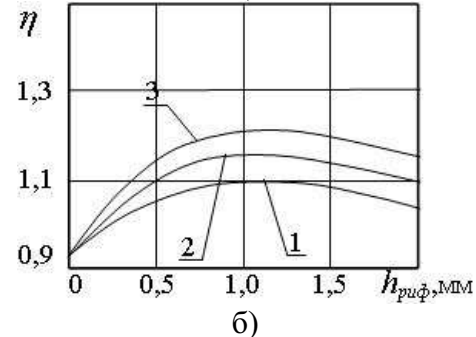
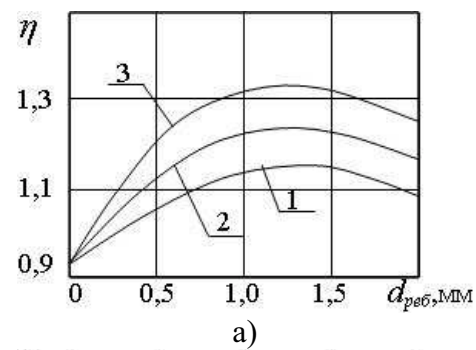


Рис. 12. Зависимости эффективности сегрегации η от конструктивных параметров разрыхлителей: а) ребер: 1 – $l_{\text{реб}}=63 \text{ mm}$; 2 – $l_{\text{реб}}=42 \text{ mm}$; 3 – $l_{\text{реб}}=21 \text{ mm}$; б) рифлей: 1 – $l_{\text{риф}}=63 \text{ mm}, l^*=24 \text{ mm}$; 2 – $l_{\text{риф}}=42 \text{ mm}, l^*=18 \text{ mm}$; 3 – $l_{\text{риф}}=21 \text{ mm}, l^*=12 \text{ mm}$; ($q=110 \text{ кг/час} \cdot \text{дм}^2$)

Fig. 12. Dependences of segregation efficiency η on constructional parameters of looseners: a) ribs: 1 – $l_{\text{реб}}=63 \text{ mm}$; 2 – $l_{\text{реб}}=42 \text{ mm}$; 3 – $l_{\text{реб}}=21 \text{ mm}$; б) rifles: 1 – $l_{\text{риф}}=63 \text{ mm}, l^*=24 \text{ mm}$; 2 – $l_{\text{риф}}=42 \text{ mm}, l^*=18 \text{ mm}$; 3 – $l_{\text{риф}}=21 \text{ mm}, l^*=12 \text{ mm}$; ($q=110 \text{ kg/h} \cdot \text{dm}^2$)

Эффективность сегрегации определяется соотношением u/u^* , где u^* – скорость при которой все частицы выделяются из слоя на длине решета L . Т.е., при скорости $u=u^*$ эффективность будет $\eta=1$ (100%). При $u < u^*$ не все частицы успеют выделиться из слоя – $\eta < 1$. При $u > u^*$ все частицы выделяются из слоя – $\eta > 1$. Значение u^* соответствует скорости, при которой траектория частицы с координатами ($r=R_1, z=0$) на входе решета проходит через конец плоскости решета ($r=R_2, z=L$).

С увеличением удельной загрузки q эффективность сегрегации снижается (рис. 11). Увеличение конструктивных параметров ребер и рифлей способствует повышению эффективности сегрегации (рис. 12). Их рациональные значения составляют $d_{\text{реб}}=1,2 \dots 1,7$ мм, $l_{\text{реб}}=21$ мм, $h_{\text{риф}}=1,0 \dots 1,5$ мм, $l_{\text{риф}}=21$ мм, $l^*=10 \dots 16$ мм. При этом, эффективность сегрегации возрастает на 35...40 %.

На рис. 13 представлены зависимости эффективности η от пористости ε и $\text{grad } v = dv/dr$.

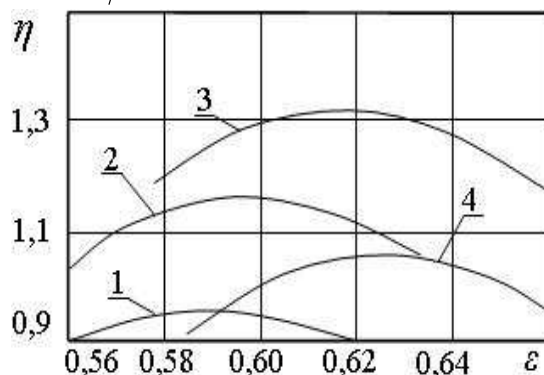


Рис. 13. Зависимости эффективности сегрегации η от пористости ε и $\text{grad } v$:
1 – $\text{grad } v=59,4 \text{ с}^{-1}$; 2 – $\text{grad } v=60,2 \text{ с}^{-1}$;
3 – $\text{grad } v=82,7 \text{ с}^{-1}$; 4 – $\text{grad } v=93,5 \text{ с}^{-1}$;
($q=110 \text{ кг/час}\cdot\text{дм}^2$)

Fig. 13. Dependences of segregation efficiency η on the porosity ε and $\text{grad } v$:
1 – $\text{grad } v=59,4 \text{ s}^{-1}$; 2 – $\text{grad } v=60,2 \text{ s}^{-1}$;
3 – $\text{grad } v=82,7 \text{ s}^{-1}$; 4 – $\text{grad } v=93,5 \text{ s}^{-1}$;
($q=110 \text{ kg/h}\cdot\text{dm}^2$)

Как видно из рис. 13, с увеличением пористости ε и градиента скоростей $\text{grad } v$ эффективность сегрегации повышается. Наибольшая эффективность η достигнута при значениях пористости $\varepsilon=0,59 \dots 0,62$ и $\text{grad } v=60,2 \dots 82,7 \text{ с}^{-1}$.

ВЫВОДЫ

1. Анализом зависимостей установлено, что применение разрыхлителей, выполненных в виде ребер и рифлей на рабочей поверхности цилиндрического виброконцентробежного решета, интенсифицирует сегрегацию и повышает эффективность на 35...40%. Разрыхлители увеличивают пористость и градиент скорости ЗС по глубине слоя.

2. Определены численные значения пористости ε и $\text{grad } v$, обеспечивающие наибольшую эффективность сегрегации – $\varepsilon=0,59 \dots 0,62$, $\text{grad } v=60,2 \dots 82,7 \text{ с}^{-1}$. Для паспортных режимов работы виброконцентробежного сепаратора определены оптимальные конструктивные параметры ребер и рифлей $d_{\text{реб}}=1,2 \dots 1,7$ мм, $l_{\text{реб}}=21$ мм, $h_{\text{риф}}=1,0 \dots 1,5$ мм, $l_{\text{риф}}=21$ мм, $l^*=10 \dots 16$ мм.

ЛИТЕРАТУРА

1. A. s. 1701400 SSSR, MKIL V07V 1/00. Sposob grohochenija sypuchih materialov i ustrojstvo dlja ego osushhestvlenija / V. I. Zasel'skij, N.V. Pustynskij, A.E. Al'tshuler (SSSR). – №4755266/03; zjavl. 03.11.89; opubl. 30.12.91, Bjul. №48.
2. A. s. 1763050 SSSR, MKIL V07V 1/46. Sposob grohochenija sypuchej smesi i ustrojstvo dlja ego osushhestvlenija / M.S. Islamov (SSSR). – №3834449/63; zjavl. 29.12.84; opubl. 23.09.92, Bjul. №35.
3. Goncharov E. S. 1976. Optimal'naja chastota kolebanij reshet pri obrabotke zernovyh materialov. Mehanizacija i jelektrifikacija sel'skogo hozjajstva. Vyp.33. – 19 – 25.
4. Goncharov E. S. 1986. Mehaniko-tehnologicheskoe obosnovanie i razrabotka universal'nyh vibrocentrobezhnyh zernovyh separatorov. avtoref. dis. na soiskanie nauch. steneni dokt. tehn. Nauk. –M. –34.
5. Gortinskij V. V., Demskij A. B., Boriskin M.A. 1981. Processy separirovaniya na zernopererabatyvajushhih predprijatijah – M.: Kolos. – 260.
6. Gudmen M., Kouin S. 1985. Dve zadachi o gravitacionnom tchenii granulirovannyh materialov. Mehanika granulirovannyh sred. Teoriya bystryh dvizhenij. – M. 64 – 85.
7. Jushkova O. B., Kudi A. N. 2001. Vlijanie svojstv chastic zernistoj sredy na effekty ih vzaimodejstvija pri bystrom sdvigovom tchenii. Sbornik trudov Tambovskogo gosu-

ОБОСНОВАНИЕ ПРОЦЕССА СЕГРЕГАЦИИ ЗЕРНОВЫХ СМЕСЕЙ ПРИ СЕПАРИРОВАНИИ ВИБРОЦЕНТРОБЕЖНЫМИ РЕШЕТАМИ

- darstvennogo tehnicheskogo universiteta: tehnologicheskie processy i oborudovanie. №8. 39–45.
8. Kotov B. I. 2004. Vibropnevmatichne rozdilenja nasinnevih sumishej. Visnik agrotehnichnoi nauki. №5. 25– 27.
9. Kotov B. I., Stepanenko S. P., Pastushenko M. G. 2004. Doslidzhennja shlijahiv pidvishhenja efektivnosti vibroreshitnih separatoriv zerna i nasinnja. Vibracii v tehnike i tehnologijah. – №3 (35). 61 – 63.
10. Lebedev V. B. 1991. Promyshlennaja obrabotka i hranenie semjan. – M. : Agropromizdat, – 255.
11. Mironov P. A. 1985. Obosnovanie parametrov rabochego processa i racional'noj shemy vibrocentrobezhnogo separatora semjan: dis. ... kandidata tehn. nauk: 05.20.01 / Mironov Petr Andrijanovich. – Har'kov, – 322.
12. Pat. 31700A Ukraina, MPK 6V09V 1/26. Cilindrichne resheto / Tishchenko L.M., Piven' M.V., Mandril O.V., ta in.; zajavnik i patentovlasnik Harkiv's'kij derzhavnij tehnichnij universitet sil's'kogo gospodarstva. – №98105572; zajavl. 23.10.98; opubl. 15.12.2000, Bjul. №7-11.
13. Petrenko N. N., Marchenko I. V., Marchenko K. N. 2003. Analiz processa separacii zerna na reshete v srede pul'sirujushhego vozduchnogo potoka. Zb. nauk. prac' Kirovograds'kogo derzhavnogo tehnichnogo universitetu. Vip.33. 141–143.
14. Petrenko N. N., Marchenko I. V., Marchenko K. N. 2002. O vozmozhnosti ispol'zovaniya pul'sirujushhego vozduchnogo potoka dlja voz-dushnoreshetnoj ochistki zerno-vogo voroha. Zb. nauk. prac' Kirovograds'kogo derzhavnogo tehnichnogo universitetu. Vip. 32, 117–121.
15. Sjevidzh S. 1985. Gravitacionnoe techenie nesvjazannyh granulirovannyh materialov v lotkah i kanalah. Mehanika granulirovannyh sred. Teoriya bystryh dvizhenij. – M., 86 – 146.
16. Tishchenko L. 2012. Kolebatel'nye processy v zernovyh smesjah na reshetah vibrocentro-bezhnyh separatorov. Motrol. Motorization and power industry in agriculture. – Lublin, – Vol. 14 D. 2012 – 30-39.
17. Tishchenko L. 2012. Modelirovanie potoka zernovogo sloja na reshete s uchetom proseivaniya. Motrol. Motorization and power industry in agriculture. – Lublin, – Vol. 14 D. – 39-48.
18. Tishchenko L. N. Nauchnye osnovy processov vibrocentrobezhnogo separirovaniya zernovyh smesej.: dis. ... doktora tehn. nauk: 05.05.11 / Tishchenko Leonid Nikolaevich. – Har'kov, 2004. – 403.
19. Tishchenko L. N., Piven M. V., Harchenko S. A., Bredihin V. V. 2009. Issledovanie zakonomernostej vibrovjazkosti zernovyh smesej pri separirovaniii cilindricheskimi vibrocentrobezhnymi reshetami. Visnik Harkiv's'kogo nacional'nogo tehnichnogo universitetu sil's'kogo gospodarstva imeni P. Vasilenko : suchasni naprjamki tehnologii ta mehanizaciї procesiv pererobnih ta harchovih virobnictv. Vip. 88. – 34–44.
20. Tishchenko L. N., Piven' M. V. 2003. K issledovaniju razdelenija frakcij zernovoj smesi pri separirovaniii na vertikal'nom cilindricheskem vibrocentrobezhnom reshetete. Vseukrainskij nauchno-tehnicheskij zhurnal. Vibracii v tehnike i tehnologijah, №5(31), 40–43.

SUBSTANTIATION OF THE PROCESS OF GRAIN MIXTURE SEGREGATION SEPARATED BY VIBROCENTRIFUGAL SIEVES

Summary. Regularities of the grain mixture segregation on internal surface of a cylindrical vibrocentrifugal sieve have been investigated in the article. Values of porosity and gradient of mixture speed providing the greatest efficiency of the segregation have been determined. Constructional parameters of looseners of vibrocentrifugal grain separators have been substantiated.

Key words: segregation, grain mixtures, looseners, porosity, speed, vibrocentrifugal separators.